

## 광전기 화학 변환에 미치는 $\text{TiO}_2$ 전극의 두께와 첨가제의 영향

윤 기 현 · 강 등 현  
연세대학교 요업공학과  
(1984년 5월 9일 접수)

### Effects of the Thickness and Dopant on the Photoelectrochemical Conversion in the Polycrystalline $\text{TiO}_2$ Electrodes

K. H. Yoon and D. H. Kang

Dept. of Ceramic Engineering, Yonsei University  
(Received 9 May, 1984)

#### ABSTRACT

The photoelectrochemical properties of the reduced  $\text{TiO}_2$  ceramic electrodes are investigated varying the thickness of the electrodes and the amounts of  $\text{Sb}_2\text{O}_3$  as dopant.

As the thickness of the undoped  $\text{TiO}_2$  ceramic electrode increases, the photocurrent tends to decrease. However for the R-F sputtered  $\text{TiO}_2$  thin film electrodes, the photocurrent tends to increase to about  $1\mu\text{m}$  thick and then decreases with increasing thickness.

For the  $\text{TiO}_2$  ceramic electrodes doped with  $\text{Sb}_2\text{O}_3$ , the photocurrent decreases with increasing the amounts of dopant and in the case of rapid cooling in air without reduction treatment the photocurrent shows lower value.

Also visible light excitation is observed at 500~550 (nm) wavelength for the  $\text{TiO}_2$  ceramic electrodes doped with  $\text{Sb}_2\text{O}_3$  comparing with the  $\text{TiO}_2$  ceramic electrodes ( $\sim 420$  nm).

#### 1. 서 론

반도체-전해질 계에서 광전기 화학반응으로 인한 물의 광분해에 관한 연구는 태양의 복사 에너지를 효율적으로 이용하기 위한 방안으로 시작되었다. Boddy<sup>1)</sup> 등은  $\text{TiO}_2$ 로 부터의 정동에 의한 물의 산화에 대해 보고하였으나 Fujishima 와 Honda<sup>2)</sup>는  $\text{TiO}_2$ 를 양극으로, 배금을 음극으로 한 광전기 화학 전지를 이용하여 물을 수소와 산소로 광분해 할 수 있음을 처음으로 제시하였다. 그 후 Butler<sup>3)</sup>와 Wilson<sup>4)</sup>가 보고한 광전기 화학 변환 기구이론을 근거로 이에 관한 많은 연구가 진행되어 왔다.

광전기 화학 반응에 영향을 끼치는 주된 인자는 전극 물질, 전극 제조방법<sup>5~9)</sup> 그리고 광강도<sup>10)</sup>, 전해질의 pH 및 온도<sup>11~14)</sup> 등이라고 알려져 있다.

본 연구에서는 전해질 내에서 비교적 안정하고 우수한 효율을 갖는  $\text{TiO}_2$  분말을 출발 물질로 하여 일반적

인 성형 소결법으로 제작한 세라믹 전극과 R-F 스파티링에 의한  $\text{TiO}_2$  박막 전극에서 전극의 두께가 광전기 화학 변환에 미치는 영향을 연구하였다.

그리고  $\text{TiO}_2$ 의 낮은 에너지 빠간적( $\sim 3.0\text{eV}$ )으로 인하여 광전기 화학 변환시에 태양광의 좁은 파장 범위 단을 이용하는 점을 보완하기 위해  $\text{TiO}_2$ 에  $\text{Sb}_2\text{O}_3$ 를 첨가시키므로써 생성된 결합구조가  $\text{TiO}_2$  세라믹 전극의 광변환 특성에 미치는 영향을 연구하였다.

#### 2. 실험

##### (1) $\text{TiO}_2$ 전극 제조

세라믹 전극의 경우, 출발물질로는 순도 99.99%의 rutile 분말(일본 고준도 화학연구소)과 첨가제로 순도 99.9%의  $\text{Sb}_2\text{O}_3$  분말(Merck Co., W. Germany)을 사용하였다.

$\text{Sb}_2\text{O}_3$  첨가 비율은 Table I과 같으며 mortar grinder에  $\text{TiO}_2$ 와  $\text{Sb}_2\text{O}_3$ 를 넣고 약간의 ethylalcohol을 가한

Table I. Composition of the specimens  
(Weight %)

Raw material Specimen No.	$TiO_2$	$Sb_2O_3$
TP	100	0
TS-1	99.75	0.25
TS-2	99.50	0.50
TS-3	99.00	1.00
TS-4	98.00	2.00

다음 5시간 혼합한 후 전조하고 세분쇄하여 시료로 사용하였다.

전극 제조방법은 이미 발표된 문헌<sup>14)</sup>대로 하였으며 이때 전극의 수소 환원 처리 조건은 순수한  $TiO_2$  세라믹 전극의 경우 광변환 효율이 가장 뛰어났던 800°C, 1시간으로 택하였고 수소 유량은 lcc/sec로 일정하게 흘러 보냈다.

시편을 SiC 연마지로 습식연마 하므로써 두께를 변화시켰으며 두께 측정은 micrometer로 하였다.

$TiO_2$  박막 전극제조는, 순도 99%의 rutile 분말 (Junsei Chem. Co.)로 일반적인 시편제조공정에 따라 직경 6cm의 원반형 시편을 제작하여 Target으로 사용하고 기판으로는  $Ti$  금속봉(순도 99.97% φ12mm, Mat. Res. Corp., U.S.A.)을 0.5cm 길이로 잘라 한쪽면을 SiC 연마지 및  $Al_2O_3$  분말로 잘 연마한 후 그 면위에 R-F 스팍터링기계 (MRC Model 3665 Sputtering Machine)를 사용하여  $TiO_2$  박막을 제조하였다.

이때 균질한 박막을 얻기 위하여 기판온도를 200°C로 가열 유지하였다<sup>5)</sup>. 이렇게 얻어진 박막은 저항저하를 위해 800°C에서 3시간 동안 수소 환원 처리하였으며 이때 박막의 표면은 세라믹 시편의 경우처럼 암회색을 띠었고 X선화석 분석 결과 rutile 구조임을 확인하였다. 박막 전극의 두께 측정은 다중 간섭으로 인하여 생기는 fringe 밤위를 이용한 Å-간섭계 (Varian # 346, U.S.A.)를 사용하였으며, 박막이 형성되는 속도는 1800~2000Å/hr로 유지하였다.

## (2) 측정

광전기 화학 변화특성은  $TiO_2$ 를 양극으로, 배금판을 음극으로 하고 기준전극은 Ag/saturated AgCl 전극 (Pope Sci. Inc., U.S.A.)으로 이루어진 3전극조 광전기화학전지를 사용하여 측정하였다<sup>14)</sup>.

기준전극과  $TiO_2$  양극과의 전위변화에 따른  $TiO_2$  양극과 배금음극간의 전류변화로서 광전류—전압특성을 측정하였으며 특히 광전류—파장 특성 측정시에는 200~800nm 파장 영역을 갖는 Monochromator(Bauch &

Lomb, 5-uv-VIS, U.S.A.)를 150Watt W-Halogen lamp(Hanimex projector, W. Germany)와  $TiO_2$  양극 사이에 설치하여 파장을 조절하면서 그에 따른 광전류 변화로서 측정하였다.

이때 광전류는 Electrometer(Hewlett Packard 427 A, U.S.A.)로 전위는 Digital Multimeter(Keithly 177, U.S.A.)로 측정하였고 측정시에 사용한 전해질은 1N-NaOH(pH=13)이었다.

## 3. 결과 및 고찰

전해질과 접촉하고 있는 반도체 전극에 일정한 광침투길이를 갖는 빛을 조사할 때 반도체 전극이 가장 효과적으로 감광할 수 있는 경우는 전해질과 접촉시 반도체 전극내에 형성되는 공핍층의 폭(depletion-layer width)과 조사한 광침투길이가 일치할 때이다<sup>3)</sup>. 그리고 전극의 산화층 폭이 공핍층 폭에 균질할 수록 광에 의해 여기된 전자를 효율적으로 이동시킬 수 있을 것이다.

Fig. 1은 순수한  $TiO_2$  세라믹 전극의 경우에 전극 두께를 100~400μm로 변화시킴에 따른 광전류—전압 특성을 나타낸 그림이다. 반도체 전극 내에서 공핍층 폭 W(depletion-layer width)는  $W = \left( \frac{2\pi\epsilon_0}{qN_d} \right)^{1/2} (V - V_{fb})^{1/2}$  ... (1)로 표시할 수 있고 여기서  $\epsilon_0$ 는 진공의 유전율 ( $8.85 \times 10^{-12} F/m$ ),  $N_d$ 는 도너 농도이며  $V$ 는 공급 전위,  $V_{fb}$ 는 flat-band 전위를 나타낸다. 이때 공핍층 폭은 전극의 도너 농도와 공급 전위에 의존함을 알 수 있다. 광흡수 계수  $\alpha$ 는  $\alpha = A \frac{(hv - Eg)^{1/2}}{hv}$  ... (2)로 나타낼 수 있으며 이는 광에너지(hv)와 사용 반도체의 에너지며 간격(Eg)에 의존함을 알 수 있다. 본 실험의 경우, 공급 전위의 조절양 및 도너 농도를 일정하게 조절하였고 동일 광원을 사용하였으므로 위 식 (1) (2)에 의해 사용된 전극에 따른 광침투 길이( $\alpha^{-1}$ ) 및 공핍층 폭(W)도 거의 같은 값을 갖게 된다. 이때 반도체 내부로 부터의 정공 확산에 의한 광전류 영향은 정공 확산 길이가 공핍층 폭과 전극 두께 증가치에 비례 매우 직으로 광전류는 대부분 공핍층 내에서 생성된 전자에 의한 것으로 볼 수 있다<sup>3)</sup>. 이때 일정한 충광량  $\phi_0$ 에 대한 충전류치 J는  $J = q\phi_0 \left( 1 - \frac{\exp(-\alpha W)}{1 + \alpha L_p} \right)$  ... (3)로 표시 할 수 있고 여기서  $L_p$ 는 정공 확산 길이를 나타낸다. 따라서 식 (3)에 의해 충전류치는 전극의 두께에 무관하게 일정한 값을 가져야 하겠으나 세라믹 전극의 경우는 시편 자체의 두께가 곧 형성된 전체 산화층에 해당하고 실제로 전극내의 공핍층 폭보다 훨씬 두꺼운 산화층을 가지게 되므로 Fig. 1에서와 같

이 그 두께가 증가할수록, 그 증가된 산화층 부분이 광에 의해 여기된 전자의 이동에 대해 barrier 역할을 하게 되므로 광전류가 감소하는 경향을 나타낸다고 생각한다<sup>6)</sup>.

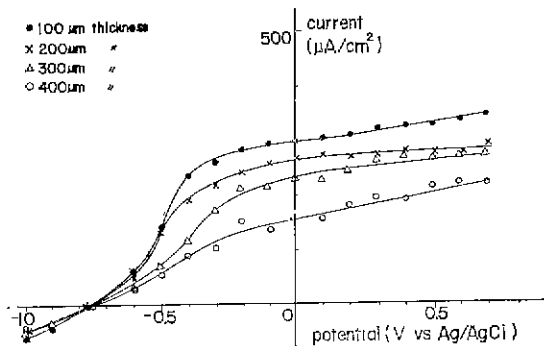


Fig. 1 Current vs. applied potential curves for undoped  $\text{TiO}_2$  ceramic electrodes.

한편 Fig. 2는 스팍터링에 의한  $\text{TiO}_2$  박막전극의 경우 그 두께를 격증시간에 따라  $0.1\sim 1.5(\mu\text{m})$  까지 변화시켰을때의 광전류—전압 특성을 나타낸 그림인데, 전극의 두께가 증가함에 따라 광전류는 증가하는 경향을 보인 후 약  $1\mu\text{m}$  두께 이상에서는 감소하고 있음을 알 수 있다. 이때 광전류 증가 현상은 격증 시간이 증가함에 따라, 즉 전극의 산화층 두께가 공핍층 폭에 근접 할수록 광침투에 대한 감광 영역의 확장 및 광에 의해 여기된 전자 및 정공성의 분리 및 이동을 효과적으로 할수 있음으로 인한, 제 결합 속도의 감소로서 설명할수 있겠다<sup>7)</sup>. 산화층의 두께가 약  $1\mu\text{m}$ 정도를 상회하는 박막 전극의 경우는 광전류가 더 이상 증가되지 않고 감소하는 현상을 보였는데 이는 세라믹 전

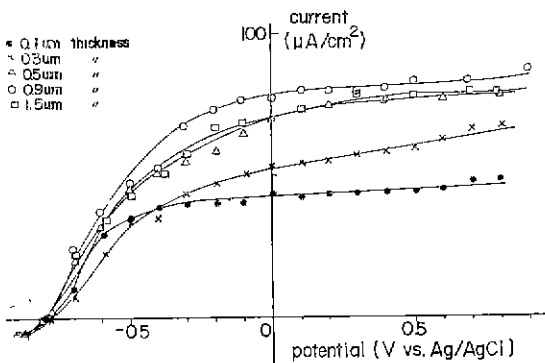


Fig. 2 Current vs. applied potential curves for sputtered  $\text{TiO}_2$  thin film electrodes.

극의 경우에서와 같이 공핍층 폭 이차의 산화층은 전자의 이동을 저해하는 barrier 역할을 함에 기인한 것으로 생각한다.

Fig. 3은  $\text{TiO}_2$  세라믹 전극의  $\text{Sb}_2\text{O}_3$  첨가량에 따른 광전류—전압 특성을 나타낸 그림인데 그 첨가량이  $0.25\text{wt}\% \sim 2.0\text{wt}\%$ 로 증가함에 따라 순수한  $\text{TiO}_2$  전극의 경우에 비해 광전류가 감소하는 경향을 보임을 알 수 있다. 광전기 화학 변환에 사용할 전극은 전자의 생성 및 이동을 위해 상온에서 적절한 전도성이 요구되므로<sup>15)</sup>  $\text{TiO}_2$  세라믹 전극을 수소 환원 처리하게 되면  $\text{TiO}_2$ 의 고온 상태에서처럼 산소 공위의  $\text{Ti}^{4+}$  도너이온을 다음과 같은 결합 반응식에 의해 얻을수 있다.  
 $\text{O}_0 \rightleftharpoons \text{VO} + 2e + \frac{1}{2}\text{O}_2 \dots \dots (4)$        $\text{Ti}^{4+} + e \rightleftharpoons \text{Ti}^{3+} \dots \dots (5)$  한편  $\text{Sb}_2\text{O}_3$ 를 첨가한 경우는  $\text{Sb}_2\text{O}_3 \rightleftharpoons 2\text{Sb}_{\text{li}} + \text{VO} + 3\text{O}_0 \dots \dots (6)$ 의 결합 반응으로  $\text{Sb}^{3+}$ 가  $\text{Ti}^{4+}$  자리에 치환되어 들어가면서 산소 공위가 형성되며 이는  $\text{Sb}_2\text{O}_3$  첨가시, 순수한  $\text{TiO}_2$ 를 환원한 경우와 같이 시편의 색이 회색에서 암회색으로 변화함으로써 알 수 있었다. 이때 Maxwell<sup>16)</sup>은 고온에서 산소결핍 상태의  $\text{TiO}_2$ 를 냉각시 침가된  $\text{Sb}_2\text{O}_3$ 가  $\text{Ti}$ 와 산소의 재 결합을 방해함으로 인해 상온에서 순수한  $\text{TiO}_2$ 에 비해 높은 전기 전도성을 갖게 됨을 확인하였다. 따라서 같은 실험 조건으로 환원 처리시, 순수한  $\text{TiO}_2$  전극보다  $\text{Sb}_2\text{O}_3$ 를  $0.25\text{wt}\%$ 부터  $2.0\text{wt}\%$ 까지 첨가한 경우 더 많은 산소 공위가 존재할 것으로 생각되며 이런 과정에 의해 산소 공위가 광에 의해 생겨난 전자의 이동을 막아하는 trap 으로 작용하여 그들의 재결합 속도를 증가 시킴<sup>17)</sup>으로 인해  $\text{Sb}_2\text{O}_3$ 의 첨가량의 증가에 따라 광전류가 감소하였다. 또 이러한 경향은 도너 농도의 증가로 인해 식(1)에서 공핍층 폭의 감소에 따른 총전류치의 감소를 식(3)을 통해 알 수 있다.

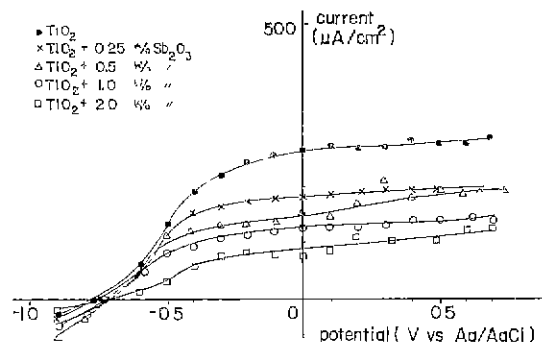


Fig. 3 Current vs. applied potential curves for undoped and  $\text{Sb}_2\text{O}_3$  doped  $\text{TiO}_2$  ceramic electrodes.

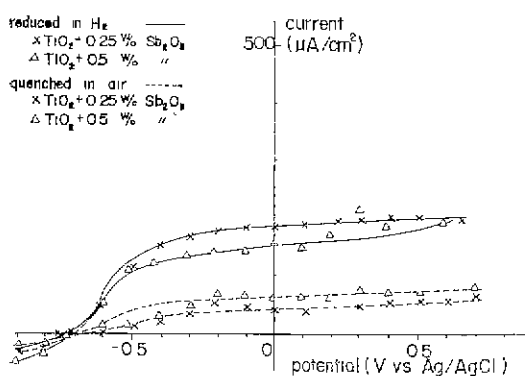


Fig. 4 Current vs. applied potential curves for reduced and quenched  $TiO_2$  ceramic electrodes with  $Sb_2O_3$ .

Fig. 4는  $TiO_2$ 에 0.25, 0.5wt%로  $Sb_2O_3$ 를 첨가하여 공기 중에서 금방 및 수소 분위기에서 환원 처리한  $TiO_2$  세라믹 전극의 광전류—전압 특성을 나타냈다. 여기서 금방한 경우는 환원 처리한 경우에 비해 낮은 광전류를 보였는데 이는 앞서 밝혔듯이 고온에서 맹각시  $Sb_2O_3$ 가 Ti와 산소의 재 결합을 방해<sup>10)</sup>하여 식(4), (5)에 의거  $Ti^{3+}$  도너이온의 생성에 기인된 결과이며 환원처리하지 않은 순수한  $TiO_2$  세라믹 전극의 경우는 금방시켰을 때도 광전류를 관찰할 수 없었다.

Fig. 5는 환원한 순수한  $TiO_2$  세라믹 전극 및  $Sb_2O_3$

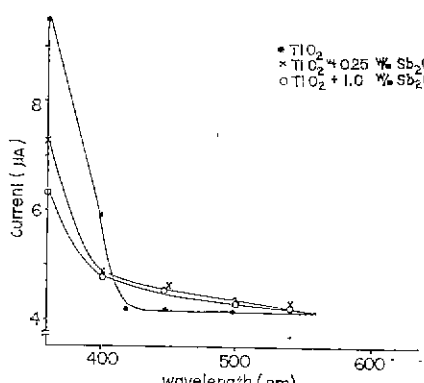


Fig. 5 Current vs. wavelength curves for undoped and  $Sb_2O_3$  doped  $TiO_2$  ceramic electrodes

첨가한 경우의 광전류—파장특성을 나타내었다. 순수한  $TiO_2$  세라믹 전극 경우에는 이미 보고된 바 있는 단결정<sup>9)</sup>이나 다결정 박막  $TiO_2$  경우<sup>11)</sup>와 유사하게  $TiO_2$ 의 에너지 띠간격 ( $\sim 3.0eV$ )에 해당하는 420nm 파장의

부근에서 광응답이 나타나기 시작했으며 반면에  $Sb_2O_3$ 를 첨가한 경우는 광응답이 긴 파장 (500~550nm)으로 이동되어 나타나는 경향을 보였다. Matsumoto<sup>18)</sup>등은  $TiO_2$ 에 Co를 첨가한 경우 격자내에 위치한 Co의 d 오비탈과의 상호반응에 기인하여 형성된 subband에 의해 550~600(nm) 파장 영역에서 전자를 여기, 이동시킬 수 있음을 보고하였다.  $Sb_2O_3$  첨가시에는 Sb의 최외각 전자인 P 오비탈과 Ti의 d 오비탈과의 상호반응에 기인하여  $TiO_2$  띠간격에 형성된 subband를 통한 전자의 이동으로서 Co를 첨가한 경우에 비해 짧은 파장 영역이지만 순수한  $TiO_2$  경우 ( $\sim 420nm$ )에 비해 긴 파장 영역 (500~550nm)에서 광응답이 나타났다.

#### 4. 결 론

(1) 환원한  $TiO_2$  세라믹 전극은 두께 증가에 따라 광전류가 감소하는 경향을 보였고 막박 전극의 경우는 막박의 두께가 약  $1\mu m$  까지 증가함에 따라 광전류는 증가하다가 그 이상의 두께에서는 감소하는 경향을 보였다.

(2)  $Sb_2O_3$ 를 첨가한  $TiO_2$  세라믹 전극의 경우는 첨가량의 증가에 따라 순수한  $TiO_2$  전극에 비해 과다하게 생성된 산소 공위로 광전류 감소 현상을 보였으며 광응답은 더 긴 파장 (500~550nm) 영역으로 이동되어 나타나는 현상을 보였다. 그리고 환원 처리하지 않고 공기 중에서 금방시킨 경우의 광전류는 환원 처리한 경우보다 낮은 값을 보였다.

#### 감사의 말씀

본 연구는 산학 협동 재단과 한국 화학 재단의 연구비로 이루어진 것으로 두 기관에게 깊은 감사를 드립니다.

#### References

- P. J. Boddy, "Oxygen Evolution on Semiconducting  $TiO_2$ ", *J. Electrochem. Soc.*, **115** (2) 199 (1968).
- A. Fujishima and K. Honda, "Electrochemical Photolysis of Water at a Semiconductor Electrode", *Nature*, **238** (7) 37 (1972).
- M. A. Butler, "Photoelectrolysis and Physical Properties of the Semiconducting Electrode  $WO_3$ ", *J. Appl. Phys.*, **48** (5) 1914 (1977).
- R. H. Wilson, "A Model for the Current-Voltage Curves of Photoexcited Semiconductor Electrodes", *J. Appl. Phys.*, **48** (10) 4292 (1977).
- K. L. Hardee and A. J. Bard, "Semiconductor

- Electrodes I”, *J. Electrochem. Soc.*, **122** (6) 739 (1975).
- 6) F. Möllers, H. J. Tolte and R. Memming, “On the Origin of Photocatalytic Deposition of Noble Metals on TiO<sub>2</sub>”, *J. Electrochem. Soc.*, **121** (9) 1160 (1974).
  - 7) K. L. Hardee and A. J. Bard, “Semiconductor Electrodes X”, *J. Electrochem. Soc.*, **124** (2) 215 (1977).
  - 8) L. A. Harris and R. H. Wilson, “Semiconductors for photoelectrolysis”, *Ann. Res. Mat. Sci.*, **8**, 99 (1978).
  - 9) W. Gissler and R. Memming, “Photoelectrochemical Processes at Semiconducting WO<sub>3</sub> layers”, *J. Electrochem. Soc.*, **124** (11) 1710 (1977).
  - 10) M. S. Wrighton, et al., ‘Strontium Titanate Photoelectrodes, Efficient Photoassisted Electrolysis of Water at Zero Applied Potential’’, *J. Am. Chem. Soc.*, **98** (10) 2774 (1976).
  - 11) T. Watanabe, A. Fujishima, O. Tatsuoki and K. Honda, “pH-dependence of Spectral Sensitization at Semiconductor Electrodes”, *Bull. Chem. Soc. Jpn.*, **49** (1) 8 (1976).
  - 12) P. V. Kamat, M. D. Karkanavala and P. N. Moorthy, “Temperature Effects in Photoelectrochemical Cells”, *J. Appl. Phys.*, **50** (6) 4228 (1979).
  - 13) K. H. Yoon and S. O. Yoon, “Photoeffects in Polycrystalline TiO<sub>2</sub> Electrodes”, *J. Appl. Phys. Jpn.*, **23** (8) 1984 (in print).
  - 14) K. H. Yoon, J. S. Kim and S. O. Yoon, “Characteristics of TiO<sub>2</sub> Ceramic Electrode for the Photoelectrochemical Conversion”, *J. Kor. Cer. Soc.*, **20** (4) 356 (1983).
  - 15) F. P. Koffyberg, “Photoelectrolysis of Water on Semiconducting Oxide Electrodes”, *J. Can. Cer. Soc.*, **48**, 1 (1979).
  - 16) L. H. Maxwell, “Antimony doped TiO<sub>2</sub> Capacitors”, *Cer. Bull.*, **42** (8) 438 (1963).
  - 17) S. N. Subbarao, et al., “Comparision of the Photoelectric Properties of the System TiO<sub>2-x</sub> with System TiO<sub>2-x</sub> F<sub>x</sub>”, *Mat. Res. Bull.*, **13** (12) 1461 (1978).
  - 18) Y. Matsumoto, J. Kurimoto, Y. Amagasaki and E. Sato, “Visible Light Response of Polycrystalline TiO<sub>2</sub> Electrodes”, *J. Electrochem. Soc.*, **127** (10) 2148 (1980).